

تأثیر عملیات پیرسازی بر رفتار کششی و سوپرالاستیسیته آلیاژ غنی از نیکل NiTi با ۵۰/۹ درصد اتمی نیکل

رضا حداد بدر و جعفر خلیل علافی*

دانشگاه صنعتی سهند، دانشکده مهندسی مواد

تاریخ ثبت اولیه: ۱۳۸۷/۵/۱۳، تاریخ دریافت نسخه اصلاح شده: ۱۳۸۷/۹/۱۷، تاریخ پذیرش قطعی: ۱۳۸۷/۱۰/۵

چکیده در این تحقیق تأثیر پارامترهای مختلف عملیات پیرسازی بر رفتار سوپرالاستیک آلیاژ کارسردشده نیکل-تیتانیوم غنی از نیکل مطالعه شده است. نمونه‌ها در دماهای ۳۰۰، ۳۵۰، ۴۰۰، ۴۵۰، ۵۰۰، ۵۵۰ و ۶۰۰°C در زمان‌های ۱۰، ۳۰ و ۱۲۰ دقیقه تحت عملیات پیرسختی قرار گرفتند. نتایج آزمایش‌های کشش نشان می‌دهد که نمونه‌ها رفتار سوپرالاستیسیته کمی از خود نشان می‌دهند؛ اما با انجام عملیات پیرسختی، رفتار سوپرالاستیسیته در نمونه‌ها بهبود چشمگیری می‌یابد. بررسی منحنی‌های تنش کرنش نمونه‌های مختلف نشان می‌دهد که در زمان‌های کوتاه و دماهای پیرسازی پایین، رفتار سوپرالاستیسیته کاملی در نمونه‌ها مشاهده می‌شود. اما در زمان‌های طولانی در دماهای پیرسازی بالا، (زمان ۱۲۰ دقیقه در محدوده دمایی ۴۵۰-۶۰۰°C)، مقدار کرنش برگشت ناپذیری رفته رفته افزایش می‌یابد و به عدم ظهور سوپرالاستیسیته کامل منجر می‌شود. همچنین در تمامی نمونه‌ها، تنش‌های پلاتوی بالایی و پایینی به آرامی با افزایش دما و زمان عملیات پیرسازی، کاهش می‌یابد. بررسی منحنی‌های تنش-کرنش نمونه‌ها تا نقطه شکست نیز نشان می‌دهد که استحکام شکست نمونه‌ها تا دمای ۴۰۰°C افزایش جزئی نشان می‌دهد و سپس با افزایش دمای پیرسازی کاهش می‌یابد. انعطاف پذیری نمونه‌ها نیز بعد از تغییرات جزئی در دماهای پیرسازی پایین، با عبور از محدوده دمایی ۴۵۰-۵۰۰°C افزایش می‌یابد. همچنین با افزایش دمای پیرسازی مقدار کرنش پلاتو به صورت پیوسته افزایش می‌یابد.

کلمات کلیدی سوپرالاستیسیته، عملیات پیرسازی، آزمایشات کشش، کرنش باقی مانده، تنش پلاتو.

Effect of Aging Treatment on Tensile and Superelastic Behavior in Ni-Rich NiTi Alloy (50.9 Atom%Ni)

R. Haddad Badr and J. Khalil Allafi*

Department of Materials Engineering, Sahand University of Technology

Abstract In this investigation, the effect of various parameters of aging treatment on the superelastic behavior of Ni_{50.9}Ti_{49.1} wires was studied. The samples were aged at 300, 350, 400, 450, 500, 550 and 600°C for 10, 30 and 120 minutes. Tensile tests were performed for all samples. Results of the tensile tests for as-received sample show a low superelastic effect. It means that there are remained strains in as receive sample after loading and unloading cycle. The aging treatments with short and intermediate aging times result in increasing the superelastic property, while there are considerably remained strains in samples, aged at 450, 500, 550 and 600°C for long aging time (120 minutes). Moreover the results indicate that, both upper and lower plateau stress are decreased with increasing the time and temperature of aging. The results of tensile experiments up to fracture for aged samples at different temperatures for 30 minutes show that with increasing the aging temperature up to 400°C, the magnitude of fracture stress increases slowly. With increasing the aging temperature more than 400°C, the fracture stress decreases. As the aging temperature increase, the strain content of plateau increase. Therefore, we can conclude that combined use of work-hardening and age-hardening is more effective to increase the critical stress for slip and consequently to improve superelasticity

Keywords Superelasticity, Aging Treatments, Tensile Tests, Remained Strain, Plateau Stress.

*عهده‌دار مکاتبات

نشانی: تبریز، دانشگاه صنعتی سهند، مرکز تحقیقات مواد پیشرفته و فرآوری مواد معدنی.

تلفن: ۰۴۱۲۳۰۵۹۴۵۴، دورنگار: ۰۴۱۲۳۰۴۴۳۳۳، پیام‌نگار: allafi@sut.ac.ir

۱- مقدمه

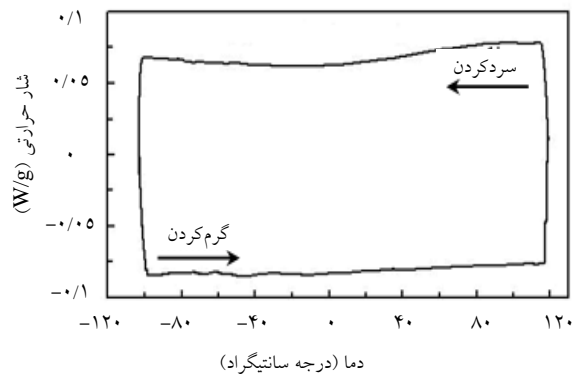
به شکل اولیه خود بازمی‌گردد. معمولاً سوپرالاستیسیته کامل زمانی روی می‌دهد که دمای نمونه در محدوده دمایی $A_f < T < M_d$ (دمای اتمام تشکیل آستنیت) باشد. اگر دما بیش از M_d باشد، تنش مورد نیاز برای تشکیل مارتنزیت بیش از تنش مورد نیاز برای ورود لغزش در فاز آستنیت می‌شود و استحاله SIM اتفاق نمی‌افتد [۳، ۵]. برای حصول سوپرالاستیسیته، افزایش تنش بحرانی لغزش بسیار مهم است. برای دست‌یافتن به آلیاژی با تنش بحرانی لغزش بالا در متالورژی فیزیکی چهار روش وجود دارد: (۱) کارسختی، (۲) پیرسختی، (۳) اصلاح دانه‌بندی و (۴) سخت کردن با عناصر آلیاژی [۶]. در اثر عملیات پیرسختی در آلیاژهای NiTi غنی از Ni، رسوبات شبه‌پایدار Ni_4Ti_3 تشکیل می‌شوند. این رسوبات ریز و کوهیرنت باعث افزایش استحکام زمینه می‌شوند و خواص سوپرالاستیسیته را بهبود می‌بخشند [۱]. در این تحقیق تأثیر توأم دو روش اول، یعنی عملیات کارسختی و پیرسختی بر رفتار سوپرالاستیسیته آلیاژ NiTi بررسی شده است.

۲- نحوه انجام آزمایش

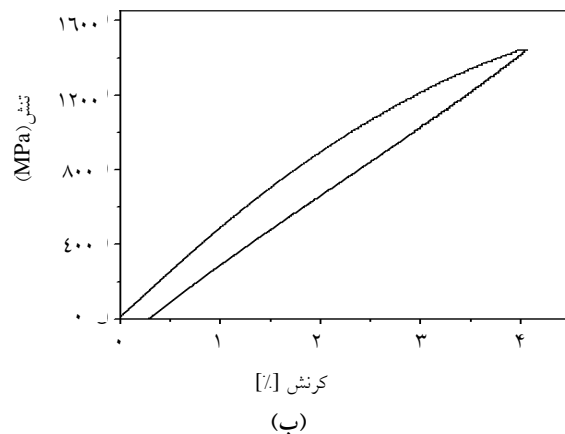
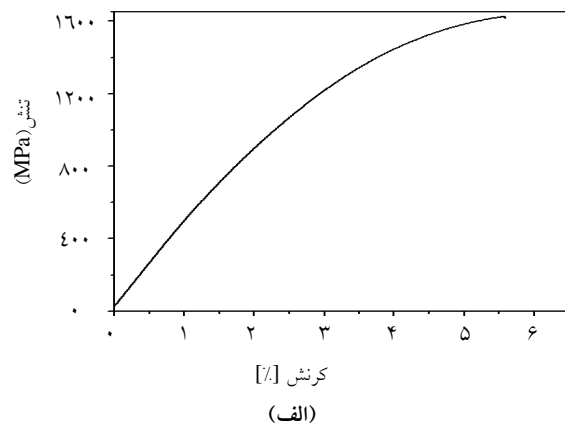
در این آزمایش، رفتار سوپرالاستیک سیم‌هایی از جنس آلیاژ نیکل-تیتانیم با ترکیب $50/9at.\% Ni$ و با قطر $0.35mm$ مطالعه شده است. سیم‌های مورد استفاده محصول شرکت Memry (USA) است.

عملیات پیرسازی روی سیم‌ها در دماهای $300^\circ C$ ، $350^\circ C$ ، $400^\circ C$ ، $450^\circ C$ ، $500^\circ C$ ، $550^\circ C$ در مدت زمان‌های 10 ، 30 ، 120 دقیقه انجام گرفت. تمامی نمونه‌ها بعد از عملیات پیرسازی در آب $25^\circ C$ کوئنچ شدند. به منظور بررسی رفتارهای استحاله و اندازه‌گیری دماهای استحاله، آزمون آنالیز حرارتی DSC (Differential Scanning Calorimetry) انجام گرفت. جهت آزمون DSC از دستگاه Netzsch مدل DSC200F3

اصطلاح حافظه داری به خاصیتی اطلاق می‌شود که در اثر آن، ماده پس از تغییر شکل های زیاد قابلیت برگشتن به شکل قبلی خود را داشته باشد. در این حالت امکان برگشتن نمونه به شکل اصلی خود، در اثر تغییرات دمایی فراهم می‌شود. آلیاژی با خاصیت حافظه داری، در محدوده دمایی خاص ویژگی دیگری به نام سوپرالاستیسیته نیز از خود نشان می‌دهد. سوپرالاستیسیته خاصیتی از ماده است که با حذف تنش، ماده توانایی بازیابی کرنش پدید آمده در اثر اعمال تنش را دارد. برخلاف اثر حافظه داری، رفتار سوپرالاستیسیته فرآیندی کاملاً ایزوترم است و نیازی به تغییرات دمایی نیست. در واقع دلیل خواص حافظه داری و سوپرالاستیسیته، وقوع استحاله مارتنزیتی ترموالاستیک در آلیاژهای حافظه دار است. در آلیاژهای NiTi در اثر استحاله مارتنزیتی، فاز دما بالای آستنیت با ساختار کریستالی B2، در حین سرد کردن به فاز دما پایین مارتنزیت با ساختار کریستالی مونوکلینیک B19 تبدیل می‌شود. در حین گرم کردن نیز استحاله معکوس از مارتنزیت به آستنیت رخ می‌دهد. به مارتنزیتی که در اثر تغییرات دمایی پدید می‌آید مارتنزیت حرارتی گفته می‌شود [۲، ۱]. در فرآیند ایزوترم سوپرالاستیسیته، برخلاف فرآیند اثر حافظه داری، استحاله مارتنزیتی در اثر اعمال تنش روی می‌دهد. مارتنزیت تشکیل شده در این حالت، مارتنزیت حاصل از تنش (Stress Induced Martensite, SIM) نام دارد. تبدیل آستنیت به مارتنزیت در اثر اعمال تنش، در تنش ثابتی اتفاق می‌افتد و به تشکیل پلاتو (Plateau) در منحنی تنش-کرنش منجر می‌شود. قسمت پلاتو نتیجه‌ای از توانایی فاز مارتنزیت برای تشکیل واریانت‌ها در طی استحاله است. واریانت فعال شده مارتنزیتی که در اثر تنش پدید آمده، واریانتی است که می‌تواند بیشترین کرنش را در شرایط تنش اعمالی تحمل کند [۳، ۴]. در صورت حذف تنش اعمالی، این مارتنزیت ناپایدار شده و به آستنیت تبدیل می‌شود. در اثر این عمل نمونه



شکل ۱. منحنی DSC نمونه دریافتی.



شکل ۲. منحنی تنش-کرنش نمونه دریافتی، (الف) تا نقطه شکست و (ب) تا کرنش ۴٪.

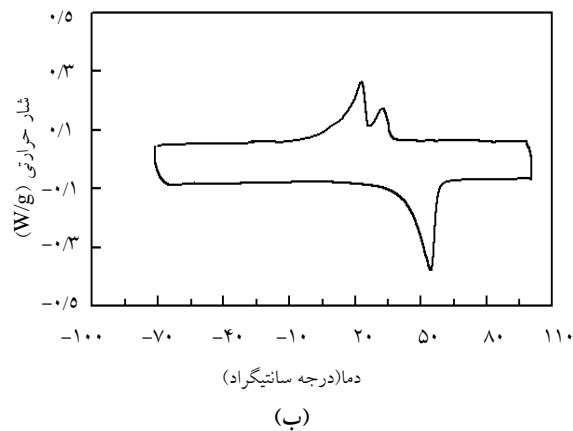
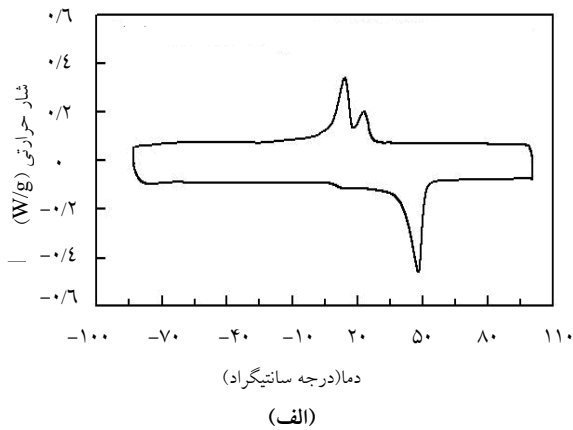
استفاده شد. محدوده درجه حرارت اندازه‌گیری شده از ۱۰۰- تا ۱۰۰°C و نرخ سرمایش و گرمایش ۱۰°C/min انتخاب شد. برای مطالعه رفتار سوپرالاستیسیته نمونه‌ها، آزمایش‌های کشش در دمای محیط (۲۷°C) و تا کرنش اعمالی ۷٪ انجام گرفت. آزمایش‌های کشش با دستگاه Zwick/Roell مدل FR010 انجام شد. فاصله دوفک ۷۰ mm و برای کاهش تأثیر خودگرم شدن نمونه‌ها، سرعت حرکت فک ۰/۲mm/min انتخاب شد. همچنین برای بررسی خواص مکانیکی نمونه‌ها، تمامی نمونه‌ها تا نقطه شکست تحت کشش قرار گرفتند. در این حالت شرایط انجام آزمایش کشش مشابه حالت بررسی رفتار سوپرالاستیسیته است.

۳- نتایج و بحث

در شکل ۱ منحنی DSC نمونه دریافتی (as-received) نشان داده شده است. ملاحظه می‌شود که پیکی در نمودار DSC آن دیده نمی‌شود. این مسئله را می‌توان به دانسیته بالای نایبایی‌ها که در مراحل تهیه سیم‌ها پدید آمده است نسبت داد. شکل ۲(الف) منحنی تنش-کرنش نمونه دریافتی را تا نقطه شکست نشان می‌دهد. رفتار کششی این نمونه مشابه رفتار فلزات معمولی بوده و آلیاژ بعد از مرحله الاستیک، وارد مرحله پلاستیک می‌شود و شکست نمونه اتفاق می‌افتد. استحکام شکست برای نمونه دریافتی حدود ۱۶۰۰MPa و کرنش شکست حدود ۵/۵٪ است. به همین سبب برای بررسی رفتار سوپرالاستیسیته، این نمونه تا کرنش ۴٪ تحت آزمایش کشش قرار گرفت (شکل ۲(ب)). بر اساس نتایج کرنش برگشت‌پذیر نمونه حدود ۳/۶٪ و کرنش باقی‌مانده حدود ۰/۴٪ است.

۱-۳ تأثیر عملیات پیرسختی بر رفتار استحاله

شکل ۳ منحنی‌های DSC نمونه‌های پیرسخت شده در



شکل ۳. منحنی DSC نمونه‌های پیرسخت‌شده در دمای ۵۵۰°C و زمان (الف) ۳۰ و (ب) ۱۲۰ دقیقه.

جدول ۱. دماهای استحاله در نمونه‌های پیرسخت‌شده در دمای ۵۵۰°C و زمان ۳۰ و ۱۲۰ دقیقه.

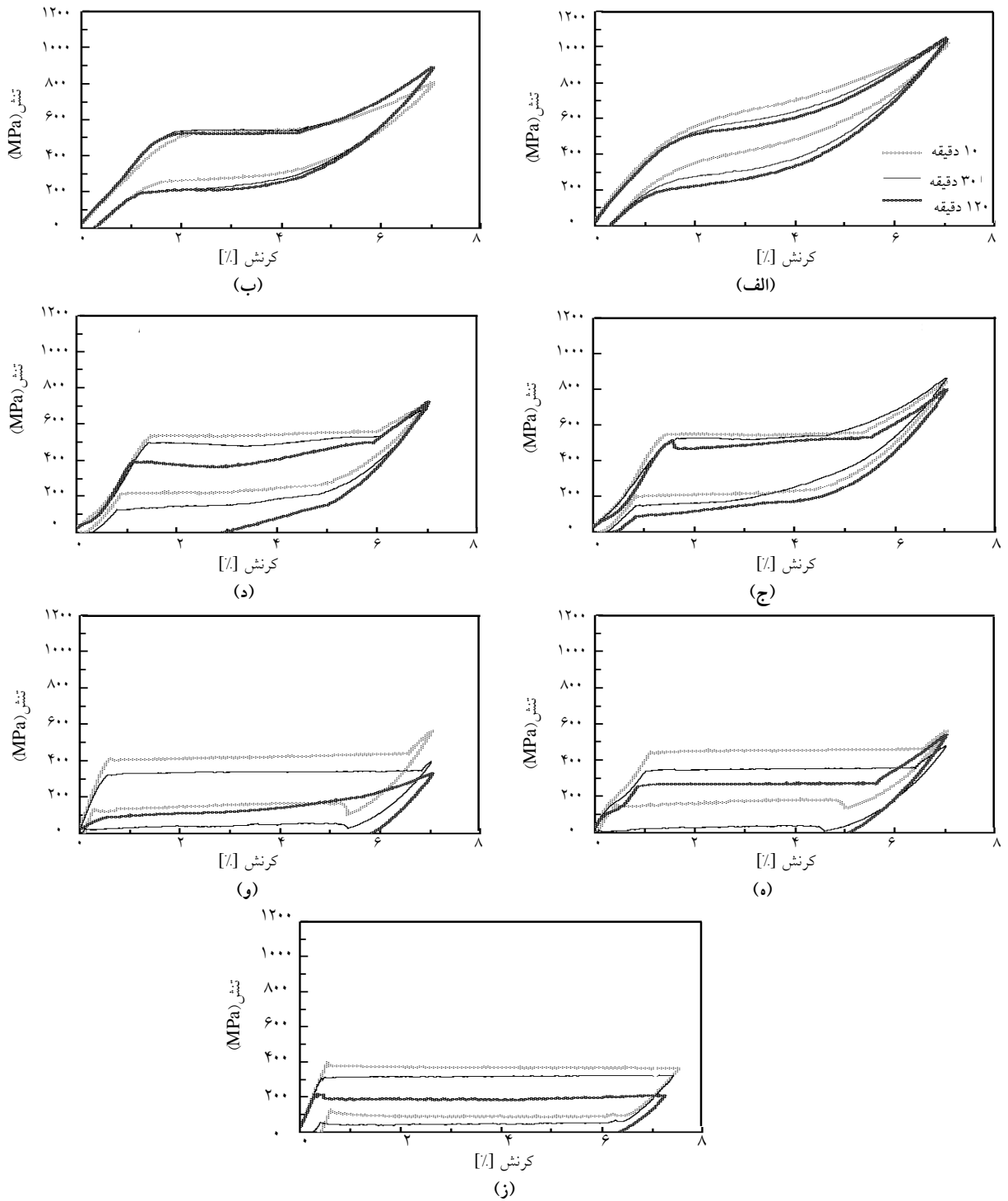
پیرسازی	$R_s(^{\circ}C)$	$A_s(^{\circ}C)$	$A_f(^{\circ}C)$	$R_s(^{\circ}C)$
۳۰ دقیقه	۲۸	۳۱	۵۴	۲۸
۱۲۰ دقیقه	۳۶	۳۵	۶۰	۳۶

دمای ۵۵۰°C و زمان‌های ۳۰ و ۱۲۰ دقیقه را نشان می‌دهد. در منحنی‌های DSC نمونه‌ها، دو پیک در مرحلهٔ سرمایش و یک پیک در مرحلهٔ گرمایش ظاهر شده است. به عبارت دیگر تبدیل آستنیت به مارتنزیت، طی دو مرحله اتفاق می‌افتد. در آلیاژهای NiTi در حضور رسوبات یا نابجایی‌ها، قبل از تشکیل مارتنزیت B19' فاز دیگری با عنوان فاز R در ساختار تشکیل می‌شود. این فاز به دو مرحله‌ای شدن استحاله منجر می‌شود [۱]. لذا می‌توان گفت در منحنی‌ها، پیک اول مربوط به استحالهٔ فازی آستنیت به فاز R و پیک دوم مربوط به تشکیل فاز مارتنزیت B19' است. نکتهٔ جالب دیگر افزایش دمای استحاله‌های فازی با افزایش دما است (جدول ۱). دلیل این رفتار را می‌توان به تشکیل رسوبات غنی از Ni در ساختار و کاهش مقدار Ni زمینه نسبت داد. آلیاژهای NiTi به مقدار نیکل بسیار حساس اند و با کاهش درصد Ni، دماهای تغییر حالت افزایش می‌یابد [۱، ۶].

۳-۲. تأثیر عملیات پیرسختی بر رفتار سوپرالاستیسیته

شکل ۴ تأثیر شرایط مختلف عملیات پیرسازی بر رفتار کششی و سوپرالاستیسیتهٔ نمونه‌ها را، تا کرنش اعمالی ۷٪ نشان می‌دهد. رفتار غیرخطی سیم‌های نایتینول بعد از عملیات پیرسازی در تمامی نمونه‌ها مشاهده می‌شود. بعد از عملیات پیرسازی، به جز در نمونه‌های پیرسخت شده در دماهای پیرسازی ۴۵۰، ۵۰۰، ۵۵۰، ۶۰۰°C و زمان ۱۲۰ دقیقه، تقریباً در تمامی نمونه‌ها، رفتار سوپرالاستیسیتهٔ خوبی به دست می‌آید.

در شکل ۵ مقدار کرنش باقی مانده در هر نمونه بر حسب زمان و دمای عملیات پیرسازی رسم شده است. در دماهای پیرسازی ۳۰۰، ۳۵۰، ۴۰۰°C در هر سه زمان ۱۰، ۳۰، ۱۲۰ دقیقه مقدار دقیقه مقدار کرنش باقی مانده ناچیز و تقریباً نزدیک به صفر است. با افزایش دمای پیرسازی در محدودهٔ دمایی ۴۵۰ تا ۶۰۰°C این روند همچنان در زمان‌های اولیهٔ پیرسازی (۱۰ و ۳۰ دقیقه) مشاهده می‌شود اما با افزایش زمان پیرسازی به ۱۲۰ دقیقه، در



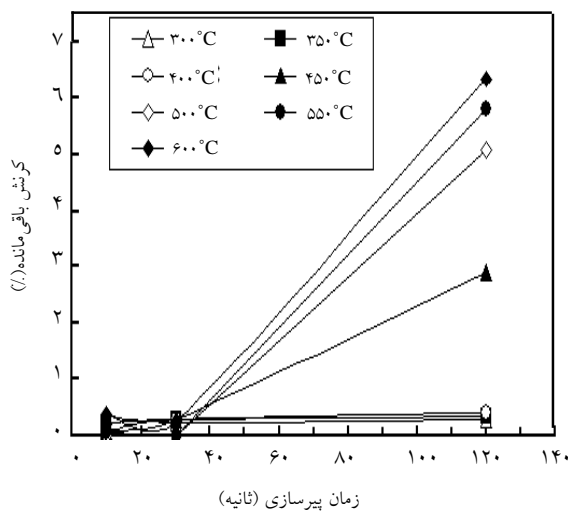
شکل ۴. منحنی‌های تنش-کرنش نمونه‌های پیرسخت شده در دماهای (الف) ۳۰۰، (ب) ۳۵۰، (ج) ۴۰۰، (د) ۴۵۰، (ه) ۵۰۰، (و) ۵۵۰ و (ز) ۶۰۰°C و زمان‌های ۱۰، ۳۰، ۱۲۰ دقیقه.

نمونه‌های دریافتی دانسیته بالایی از نابعایی‌ها دارند، می‌توان گفت با انجام عملیات پیرسازی در دماهای پایین یا زمان‌های کوتاه، فرآیند بازیابی در نمونه‌های کارسرد شده آغاز می‌شود [۷۸].

در کنار آزادسازی تنش‌های حاصل از کارسرد، سلول‌هایی از نابعایی‌های موجود تشکیل می‌شود. این سلول‌ها به همراه رسوبات کوهیرنت، Ni_4Ti_3 تشکیل شده در حین عملیات پیرسازی، تنش بحرانی لغزش در آلیاژ را می‌افزایند. این موضوع منجر به فعالیت جهت مرجح دوقلویی در استحاله مارتنزیتی SIM به منزله تنها مکانیزم تغییر شکل در آلیاژ می‌شود. لذا در مرحله باربرداری کرنش اعمالی تقریباً به طور کامل بازیابی می‌شود. با افزایش دما و زمان پیرسازی مرحله تبلور مجدد آغاز می‌شود و ساختارهای نابعایی رفته‌رفته از بین می‌روند. همچنین در کنار انجام مرحله تبلور مجدد، با افزایش دما و زمان پیرسازی، اندازه رسوبات تشکیل شده نیز بزرگ‌تر می‌شود و کوهیرنسی خود را با زمینه ازدست می‌دهند. در کل این دو موضوع منجر به کاهش مقاومت آلیاژ در برابر لغزش می‌شود و در حین اعمال تنش مکانیزم لغزش به سهولت وارد عمل می‌شود، که نتیجه آن وجود کرنش باقی مانده در انتهای مرحله باربرداری است.

شکل‌های ۶ و ۷ تأثیر عملیات پیرسازی را به ترتیب بر تنش پلاتوی بالایی و پایینی نشان می‌دهند. تنش پلاتوی بالایی نشان‌دهنده تنش لازم برای تبدیل آستنیت به مارتنزیت است تنش پلاتوی پایینی نیز نشان‌دهنده مقدار تنش مورد نیاز برای انجام استحاله معکوس (مارتنزیت به آستنیت) در شرایط حذف تنش است. که برای تعیین تنش پلاتوی بالایی و پایینی، به ترتیب میزان کرنش ۳/۵٪ و ۳٪ در نظر گرفته شد است.

با توجه به منحنی‌ها، در یک دمای ثابت پیرسازی، مقدار تنش لازم برای انجام استحاله SIM یا استحاله معکوس با افزایش زمان پیرسازی، کاهش می‌یابد. با افزایش



شکل ۵. حوزه محاسباتی میدان جریان در اطراف تک سیلندر استوانه‌ای و صفحه منحرّف کننده.

این محدوده دمایی، کرنش غیرقابل برگشت ناپذیر رفته رفته افزایش می‌یابد و به مقدار چشمگیری می‌رسد.

همان‌طور که گفته شد دلیل خواص حافظه‌داری و سوپرالاستیسیته در آلیاژهای NiTi، وقوع استحاله مارتنزیتی ترموالاستیک است. در استحاله‌های مارتنزیتی، برای کاهش مقدار کرنش شبکه‌ای ناشی از تنش‌های باینی، یک مرحله فرآیند خودانطباقی صورت می‌گیرد، (Self-Accommodation Process). به طور کلی دو مکانیزم برای انجام فرآیند خود انطباقی وجود دارد: ۱- دوقلویی، ۲- لغزش. فرآیند خود انطباقی انجام شده با مکانیزم دوقلویی، فرآیندی برگشت پذیر است. در حالی که در صورت انجام خود انطباقی با مکانیزم لغزش، این فرآیند برگشت ناپذیر خواهد بود. برای ظهور اثر حافظه‌داری و سوپرالاستیسیته، فرآیند خود انطباقی باید با مکانیزم دوقلویی انجام پذیرد؛ در غیر این صورت کرنش اعمال شده بازیابی نخواهد شد. با توجه به این مطالب می‌توان رفتار تغییر شکل مشاهده شده در نمونه‌های مختلف را بررسی کرد. با توجه به اینکه

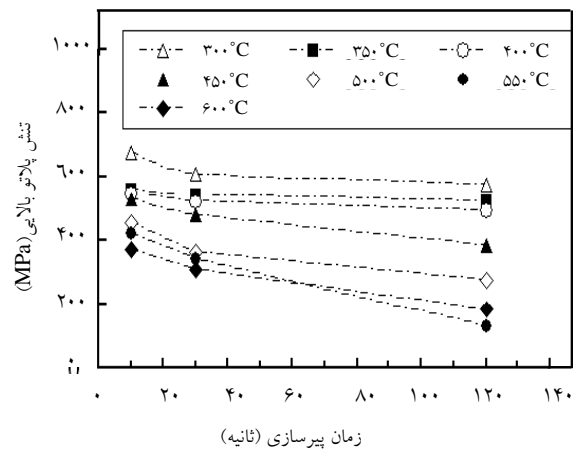
شکل ۶ در زمان پیرسازی ۱۲۰ دقیقه در دماهای ۴۵۰-۶۰۰°C، پلاتوی پایینی ناپدید شده است. دلیل این موضوع انجام فرآیند تبلور مجدد در نمونه هاست که به باقی ماندن کرنش برگشت ناپذیر در نمونه و حذف پلاتوی پایینی منجر می شود.

۳-۳. تأثیر عملیات پیرسختی بر خواص مکانیکی

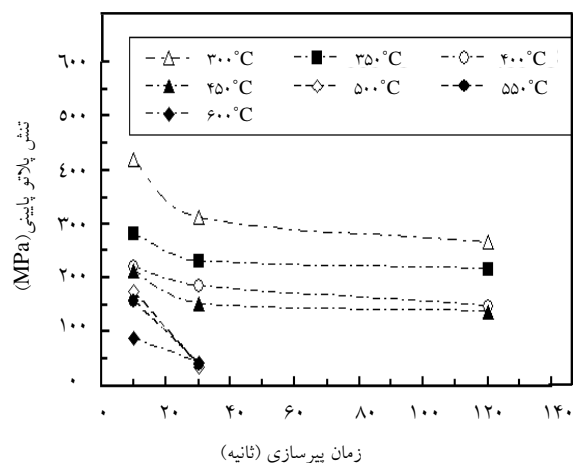
شکل ۸ تأثیر دمای عملیات پیرسازی بر رفتار کششی سیم های نایتینول تا نقطه شکست را نشان می دهد. زمان پیرسازی برای تمامی نمونه ها ۳۰ دقیقه می باشد. به طور کلی منحنی های ارائه شده در شکل ۸ را می توان به چهار مرحله طبقه بندی کرد: ۱- مرحله تغییر شکل الاستیک فاز آستنیت؛ ۲- مرحله تبدیل آستنیت به مارتنزیت در اثر تنش (استحاله SIM) که قسمت پلاتو نشان دهنده این مرحله است؛ ۳- مرحله تغییر شکل الاستیک مارتنزیت تشکیل شده در اثر تنش؛ ۴- مرحله تغییر شکل پلاستیک مارتنزیت.

با توجه به منحنی ها با افزایش دمای پیرسازی در هر یک از حالات، تنش لازم برای وقوع استحاله SIM کاهش می یابد. همچنین با تغییر شرایط پیرسازی، استحکام شکست و انعطاف پذیری نمونه ها نیز تغییر می کند.

در شکل ۹ استحکام شکست نمونه ها بر حسب دمای پیرسازی رسم شده است. با افزایش دمای پیرسازی، استحکام شکست نمونه ها پس از افزایش جزئی به سرعت کاهش می یابد. افزایش جزئی استحکام شکست، تا دمای ۴۰۰°C را می توان به تشکیل رسوبات غنی از نیکل و کوهیرنت Ni_4Ti_3 در زمینه، در اثر عملیات پیرسازی نسبت داد. به نظر می رسد که مؤثرترین سخت گردانی حاصل از رسوبات تشکیل شده به همراه نابجایی های موجود، در دمای ۴۰۰°C حاصل شده است. دلیل کاهش استحکام شکست بعد از دمای ۴۰۰°C را می توان تأثیر توأم دو فاکتور ۱- افزایش اندازه رسوبات و کاهش دانسیته آنها و ۲- کاهش دانسیته نابجایی ها بر استحکام زمینه دانست. این

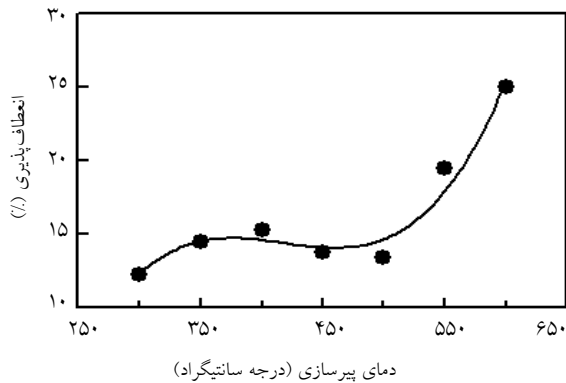


شکل ۶. تنش پلاتوی بالایی در نمونه های پیرسخت شده در دماها و زمان های مختلف پیرسازی.

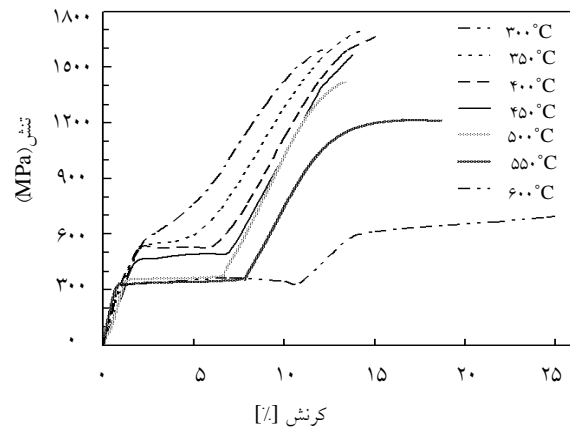


شکل ۷. تنش پلاتوی پایینی در نمونه های پیرسخت شده در دماها و زمان های مختلف پیرسازی.

دمای پیرسازی نیز افزایش دما و زمان پیرسازی را می توان به نرم شدن زمینه و افزایش دمای استحاله و کاهش اختلاف دمای انجام آزمایش کشش و دمای M_s نسبت داد. همچنین مطابق



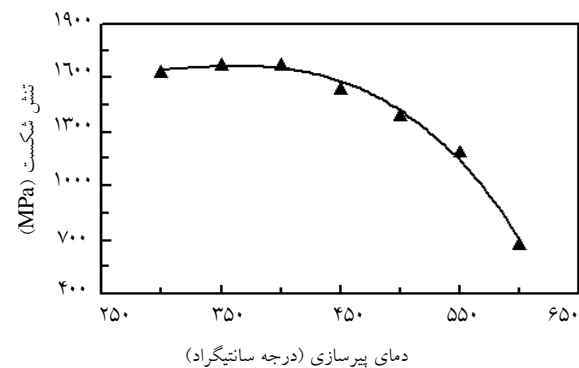
شکل ۱۰. کرنش وقوع شکست در نمونه‌های پیرسخت شده در دماهای مختلف و زمان ۳۰ دقیقه.



شکل ۸. منحنی های تنش-کرنش نمونه های پیرسخت شده در دماهای مختلف تا نقطه شکست (زمان پیرسازی ۳۰ دقیقه).

که انعطاف پذیری در محدوده دمایی 300°C - 500°C تغییرات بسیار کمی دارد اما با افزایش دما از 500°C به بعد به سرعت افزایش نشان می دهد. با رجوع به منحنی های تنش-کرنش نمونه ها تا نقطه شکست (شکل ۸)، نشان می دهد که در نمونه های پیرسخت شده در محدوده دمایی 300°C - 500°C ، شکست نمونه در مراحل اولیه مرحله پلاستیک مارتنزیت اتفاق افتاده است. اما با افزایش دمای پیرسازی، منطقه پلاستیک مارتنزیت نیز در منحنی ها ظاهر می شود و با ادامه افزایش دمای پیرسازی، شکست در کرنش های بالاتر رخ می دهد. به نظر می رسد دلیل این رفتار نیز رسوبات تشکیل شده در حین عملیات پیرسازی و نابجایی های موجود در ساختار آلیاژ باشد.

در دماهای پیرسازی پایین دانسیته رسوبات بالا و فاصله آنها نیز بسیار کم است. در نمونه های پیرسخت شده نیز در محدوده دماهای پیرسازی 300°C - 500°C ، (در زمان های پیرسازی ۳۰ دقیقه)، همچنان دانسیته نابجایی ها بالاست؛ به طوری که می توان گفت به نوعی نابجایی ها در هم دیگر قفل شده اند و امکان حرکت آنها در شرایط تنش اعمالی فراهم نمی شود. لذا در کل ریزساختار، سدی محکم در برابر حرکت نابجایی ها و



شکل ۹. استحکام شکست در نمونه های پیرسخت شده در دماهای مختلف زمان ۳۰ دقیقه.

موضوع در نمونه های پیرسخت شده در 600°C بیشتر قابل رویت است، زیرا در این دما فرآیند بازبایی به صورت کامل انجام شده و مرحله تبلور مجدد آغاز می شود که در اثر آن استحکام تسلیم نهایی نمونه به 700 MPa تنزل می یابد.

در شکل ۱۰ نیز تأثیر عملیات پیرسازی بر انعطاف پذیری نمونه ها بر حسب دمای پیرسازی رسم شده است. ملاحظه می شود

در دمای 600°C رسیده است. مقدار کرنش آغاز پلاتوی تنش نیز روندی کاملاً عکس مقدار کرنش پلاتو را دنبال می‌کند؛ به طوری که در دمای پیرسازی 300°C به بیشترین مقدار و در دمای پیرسازی 600°C به کم ترین مقدار خود می‌رسد.

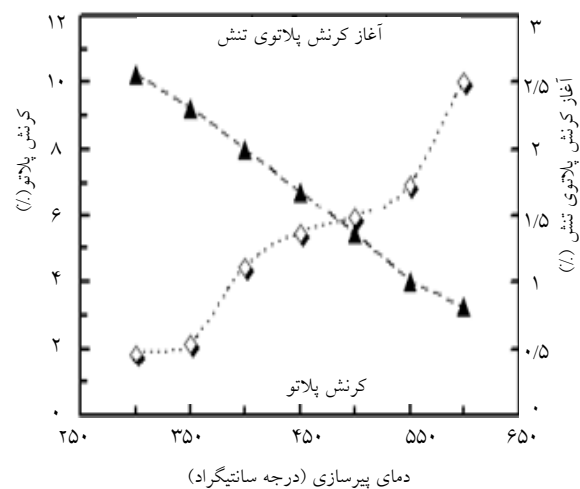
با توجه به اینکه در قسمت پلاتو، استحاله آستنیت (موجود در نمونه) به مارتنزیت انجام می‌شود، می‌توان مقدار کرنش پلاتو را به مقدار آستنیت زمینه نسبت داد. به نظر می‌رسد با افزایش دمای پیرسختی، بر میزان آستنیت زمینه افزوده شده است. در نتیجه مقدار بیشتری آستنیت در اثر اعمال تنش به مارتنزیت تبدیل شده است.

۴- نتیجه‌گیری

۱. انجام عملیات پیرسختی در دماهای پایین، یا زمان‌های کوتاه در دماهای بالا، رفتار سوپرالاستیسیته خوبی در نمونه‌ها ایجاد می‌کند.
۲. با افزایش دما و زمان عملیات پیرسازی، مقدار تنش‌های پلاتوی بالایی و پایینی کاهش می‌یابد.
۳. با انجام عملیات پیرسازی، استحکام شکست نمونه‌ها تا دمای 400°C افزایش جزئی نشان می‌دهد و سپس با افزایش دمای پیرسازی کاهش می‌یابد.
۴. با انجام عملیات پیرسازی، انعطاف پذیری نمونه‌ها بعد از تغییرات جزئی در دماهای پیرسازی پایین، با عبور از محدوده دمایی $450-500^{\circ}\text{C}$ افزایش می‌یابد.
۵. با افزایش دمای پیرسازی، مقدار کرنش پلاتو به صورت پیوسته افزایش می‌یابد.

تغییر جهت واریانت‌های مارتنزیتی وجود دارد که باعث توقف نابجایی‌ها یا عدم تغییر جهت واریانت‌های مارتنزیتی می‌شود. بنابراین شکست تمامی نمونه‌های پیرسخت‌شده در این محدوده دمایی، در ابتدای مرحله پلاستیک مارتنزیت روی داده است. اما با افزایش دمای پیرسازی به 550°C تقریباً می‌توان گفت کسر عمده‌ای از نابجایی‌های ساختار کاهش می‌یابد. همچنین اندازه رسوبات بزرگ تر و فاصله آنها نیز بیشتر می‌شود؛ به طوری که امکان فعالیت برای دو عامل یاد شده فراهم می‌شود و باعث افزایش انعطاف‌پذیری نمونه می‌گردد.

شکل ۱۱ تغییرات مقدار کرنش پلاتو بر حسب دمای پیرسازی را نشان می‌دهد. همچنین برای هر نمونه مقدار کرنشی که پلاتوی تنش آغاز می‌شود نیز بر حسب دمای پیرسازی رسم شده است. با افزایش دمای پیرسازی، مقدار کرنش پلاتو به صورت پیوسته افزایش می‌یابد؛ به طوری که کرنش پلاتو از مقدار $1/7\%$ در نمونه پیرسخت شده در دمای 300°C افزایش یافته و به مقدار $1/10\%$ در نمونه پیرسخت شده



شکل ۱۱. مقدار کرنش پلاتو و کرنش آغاز پلاتو در نمونه‌های پیرسخت شده در دماهای مختلف در زمان ۳۰ دقیقه.

مراجع

- Processing on the Super elastic Properties of a Ni-Rich Nitinol Shape Memory Alloy”, *J. of Materials Science and Engineering*, Vol. 429 (2006) 130-136.
6. Otsuka, K. and Ren, X., “Physical Metallurgy of Ti-Ni-Based Shape Memory Alloys”, *J of Progress in Materials Science*, Vol. 50 (2005) 511-678.
 7. Morawiec, H., Stroz, D., Goryczka, T. and Chrobak, D., “Two-Stage Martensitic Transformation in A Deformed and Annealed Niti Alloy”, *J. of Scripta Mater*, Vol. 35 (1996) 485.
 8. Morawiec, H., Ilczuk, J., Stroz, D., Goryczka, T. and Chrobak, D., “Two-Stage Martensitic Transformation in NiTi Alloys Caused by Stress Fields”, *J. De Phys. IV*, France 07 C5 (1997) C5-155.
 9. Stroz, D., “Studies of the R-Phase Transformation in a Ti-51at.%Ni Alloy by Transmission Electron Microscopy”, *J. of Scripta Mater*, Vol. 47 (2002) 363.
 10. Lin, H., Wu, S., Chou, T. and Kao, H., “The Effects of Cold Rolling on the Martensitic Transformation of an Equiatomic TiNi Alloy”, *Acta Metallurgica et Materialia*, Vol. 39 (1991) 2069.
 11. Otsuka, K. and Ren, X., “Factors Affecting the Ms Temperature and its Control in Shape-Memory Alloys”, *Mater. Sci. Forum*, Vol. 177 (2002) 394-395.
 1. Khalil-Allafi, J., Dlouhy, A. and Eggeler, G., “Ni₄Ti₃-Precipitation During Aging of Niti Shape Memory Alloys and Its Influence on Martensitic Phase Transformations”, *J. of Acta Materialia.*, Vol. 50 (2002) 4255-4274.
 2. Bataillard, L., Bidaux, J.E. and Gotthardt, R., Interaction Between Microstructure and Multiple-Step Transformation in Binary Niti Alloys Using In-Situ Transmission Electron Microscopy Observations, *Philosophical Magazine*, Vol. 78 No. 2 (1998) 327-344.
 3. Huaung, X. and Liu, Y., “Effect of Annealing on the Transformation Behavior and Super elasticity of NiTi Shape Memory Alloy”, *J. of Scripta Materialia*, Vol. 45 (2001) 153-160.
 4. McNaney, J.M., Imbeni, V., Jung, Y., Papadopoulos, P. and Ritchie, R.O., “An Experimental Study of the Super elastic Effect In A Shape-Memory Nitinol Alloy under Biaxial Loading”, *J. of Mechanics of Materials*, Vol. 35 (2003) 969-986.
 5. Favier, D., Liu, Y., Orgeas, L., Sandel, A., Debove, L. and Comte-Gaz, P., “Influence of Thermomechanical